

Quantum NV Sieve 개선

<https://youtu.be/NSHziEblrwY>

개선 요소

1. 가장 큰 복잡도를 갖는 곱셈 과정을 위해 덧셈기 변경 + AND gate 사용

- 이전 구현은 알고리즘 완성이 목표여서 최적화를 크게 신경 안 씀
- 이번 개선에서는 **depth 감소에 집중하기 위해 out of place 방식의 Draper adder 사용**
- **Toffoli depth 1인 AND gate 적용**

2. Fixed-point 연산 적용

- **더 정밀한 격자 감소 및 연산 (sieve factor인 γ 및 모든 벡터에 대해)**
 - 격자 감소 범위를 조금 더 정밀하게 잡을 수 있음
 - 클래식 구현에서 사용되는 sieve factor는 0.97이며 1에 가까울수록 좋음
 - 그러나 기존 구현에서는 소수점 단위로 설정할 수 없었음 → 개선
- Quantum에서 Floating point 연산보다 효율적이라고 함

Draper adder (out of place)

- In place 구현은 out of place에 비해 상대적으로 Toffoli depth가 높음
 - 이번 개선에서는 depth 최적화를 위해 Cuccaro CDKM 대신 out of place + Draper adder 사용

Adder	Year	Toffoli Count	Toffoli Depth	Qubit Count
VBE RCA [14]	1995	$4n - 2$	$4n - 2$	$3n + 1$
Cuccaro RCA [2]	2004	$2n - 1$	$2n - 1$	$2n + 2$
Draper In-place CLA [3]	2004	$10n - 3\omega(n) - 3\omega(n-1) - 3\lfloor \log n \rfloor - 3\lfloor \log(n-1) \rfloor - 7$	$8 + \lfloor \log n \rfloor + \lfloor \log(n-1) \rfloor + \lfloor \log \frac{n}{3} \rfloor + \lfloor \log \frac{n-1}{3} \rfloor$	$4n - \omega(n) - \lfloor \log n \rfloor$
Draper Out-of-place CLA [3]	2004	$5n - 3\omega(n) - 3\lfloor \log n \rfloor - 1$	$4 + \lfloor \log n \rfloor + \lfloor \log \frac{n}{3} \rfloor$	$4n + 1 - \omega(n) - \lfloor \log n \rfloor$

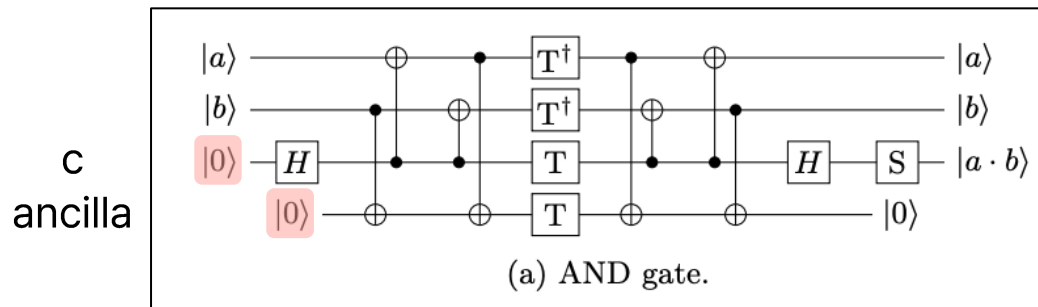
- Quantum NV Sieve에서 Toffoli gate가 사용되는 함수 (아래 함수들에서 Toffoli, 덧셈기 사용됨)
 - Rank번 호출되는 함수
 - COMPLEMENT_pos
 - outDraper_adder
 - COMPLEMENT_neg
 - Multiplication
 - 1번 호출되는 함수 (Rank 관련 x)
 - CSA_Draper
 - COMPLEMENT_rR_c
 - outDraper_adder

각 함수마다 연산 대상이 다르며 Toffoli gate에 따라 Td 결정, AND gate 적용 시의 실제 Td는 아래와 같이 계산

$$Td = (3 \times (\text{Rank} \times \text{bitsize})) + \text{Rank} \times (\text{bit_size}^2 \times \text{sqr_bit_size}) + \text{sqr_bit_size} + \text{sqr_bit_size} + \text{sqr_bit_size}$$

AND gate 적용

- AND gate는 대상 큐비트가 0이라면, Toffoli gate와 동일하게 동작



```
def quantum_and(eng, a, b, c):  
    ancilla = eng.allocate_qubit()  
    H | c  
    CNOT | (b, ancilla)  
    CNOT | (c, a)  
    CNOT | (c, b)  
    CNOT | (a, ancilla)  
    Tdag | a  
    Tdag | b  
    T | c  
    T | ancilla  
    CNOT | (a, ancilla)  
    CNOT | (c, b)  
    CNOT | (c, a)  
    CNOT | (b, ancilla)  
    H | c  
    S | c
```

- 개선 구현에서는 Out of Place 방식의 덧셈기를 사용했으며, 타겟 큐비트가 새로 할당되었으므로 0의 상태
→ 따라서 큰 구조적 변경 없이 ancilla qubit 추가하여 AND gate가 적용된 덧셈기 사용

자원 추정

- 현재 QIP 심사 중인 버전에 자원 추정이 누락된 부분 발견.. 😞
 - 리뷰 받을 때 수정 예정
 - 개선 버전에서는 T-depth 정확하게 계산하도록...

자원 추정

- **Takahashi adder (In place) + Toffoli gate (T-depth 4) 적용 vs Draper adder (Out of place) + AND gate (T-depth 1) 적용**
 - **#CNOT, #1qCliff**: 크게 변동 없음
 - **#T gate**: 모든 경우에서 약 2배 감소
 - **FD**: 최소 2배 ~ 최대 16배 감소
 - **Td**: 이전 버전이 잘못 계산 되었음 (Toffoli가 쓰이는 모든 곳에 대한 depth가 아니라, Mul에 대한 Td만 계산함..)

Table 2: Resource Estimation of quantum NV Sieve oracle (R10D10 means the rank and the dimension of the lattice are 10).

Case	#CNOT	#1qCliff	#T	<i>T</i> -depth (<i>Td</i>)	Full depth (<i>FD</i>)	Qubit (<i>M</i>)	<i>Td</i> - <i>M</i>	<i>FD</i> - <i>M</i>
R10D10	2 ^{16.1767}	2 ^{13.9067}	2 ^{15.7118}	2 ^{7.6037}	2 ^{11.5264}	2 ^{12.5454}	2 ^{20.1491}	2 ^{24.0718}
R20D20	2 ^{18.9097}	2 ^{16.6143}	2 ^{18.4212}	2 ^{8.4470}	2 ^{14.2190}	2 ^{15.2640}	2 ^{23.7110}	2 ^{29.4830}
R30D30	2 ^{20.5672}	2 ^{18.2624}	2 ^{20.0695}	2 ^{8.9454}	2 ^{15.2810}	2 ^{16.9202}	2 ^{25.8656}	2 ^{32.2012}
R40D40	2 ^{21.7859}	2 ^{19.4808}	2 ^{21.2880}	2 ^{9.3533}	2 ^{16.0566}	2 ^{18.1329}	2 ^{27.4860}	2 ^{34.1896}
R50D50	2 ^{22.6998}	2 ^{20.3885}	2 ^{22.1958}	2 ^{9.6165}	2 ^{16.6674}	2 ^{19.0527}	2 ^{28.6692}	2 ^{35.7201}
R60D60	2 ^{23.4836}	2 ^{21.1729}	2 ^{22.9802}	2 ^{9.8595}	2 ^{17.1715}	2 ^{19.8329}	2 ^{29.6924}	2 ^{37.0044}
R70D70	2 ^{24.1348}	2 ^{21.8228}	2 ^{23.6301}	2 ^{10.0660}	2 ^{17.6005}	2 ^{20.4848}	2 ^{30.5508}	2 ^{38.0853}

Table 3: Quantum cost for Grover's search on quantum NV Sieve.

Case	#Total gates	<i>T</i> -depth (<i>Td</i>)	Full depth (<i>FD</i>)	Qubit (<i>M</i>)	Quantum cost	<i>Td</i> - <i>M</i>	<i>FD</i> - <i>M</i>
R10D10	2 ^{18.1267}	2 ^{8.6073}	2 ^{12.5264}	2 ^{12.5456}	2 ^{30.6532} . <i>r</i>	2 ^{21.1529}	2 ^{25.0720}
R20D20	2 ^{20.8481}	2 ^{9.4470}	2 ^{15.2190}	2 ^{15.2640}	2 ^{35.0664} . <i>r</i>	2 ^{24.7110}	2 ^{32.4830}
R30D30	2 ^{22.5012}	2 ^{9.9454}	2 ^{16.2810}	2 ^{16.9202}	2 ^{37.7823} . <i>r</i>	2 ^{26.8656}	2 ^{33.2012}
R40D40	2 ^{23.7199}	2 ^{10.3533}	2 ^{17.0566}	2 ^{18.1329}	2 ^{39.7765} . <i>r</i>	2 ^{28.4860}	2 ^{35.1895}
R50D50	2 ^{24.6308}	2 ^{10.6165}	2 ^{17.6674}	2 ^{19.0527}	2 ^{41.2938} . <i>r</i>	2 ^{29.6692}	2 ^{36.7201}
R60D60	2 ^{25.4150}	2 ^{10.8595}	2 ^{18.1715}	2 ^{19.8329}	2 ^{42.5865} . <i>r</i>	2 ^{30.6924}	2 ^{38.0044}
R70D70	2 ^{26.0655}	2 ^{11.0660}	2 ^{18.6005}	2 ^{20.4848}	2 ^{43.6661} . <i>r</i>	2 ^{31.5509}	2 ^{39.0853}

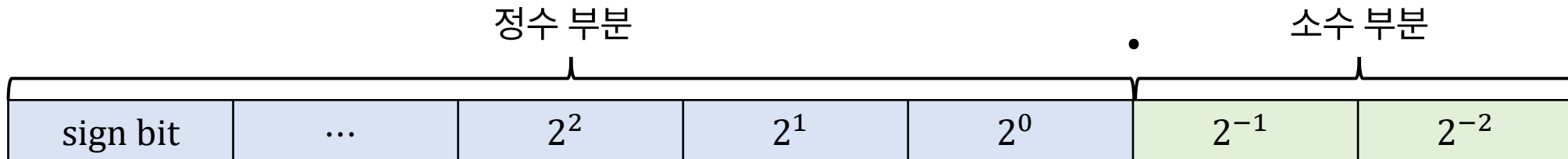
Case	#CNOT	#1qCliff	#T	<i>T</i> -depth (<i>Td</i>)	Full depth (<i>FD</i>)	Qubit (<i>M</i>)	<i>Td</i> - <i>M</i>	<i>FD</i> - <i>M</i>
R10D10	2 ^{16.0685}	2 ^{14.2921}	2 ^{14.7054}	2 ^{11.0443}	2 ^{10.5565}	2 ^{10.6329}	2 ^{21.6772}	2 ^{21.2458}
R20D20	2 ^{18.6200}	2 ^{16.7937}	2 ^{17.2083}	2 ^{13.5521}	2 ^{11.6821}	2 ^{12.4424}	2 ^{25.9945}	2 ^{24.1245}
R30D30	2 ^{20.2122}	2 ^{18.3524}	2 ^{18.7801}	2 ^{15.1241}	2 ^{12.4795}	2 ^{13.5543}	2 ^{28.6784}	2 ^{26.0238}
R40D40	2 ^{21.3774}	2 ^{19.5197}	2 ^{19.9337}	2 ^{16.2734}	2 ^{12.8570}	2 ^{14.3445}	2 ^{30.6179}	2 ^{27.2015}
R50D50	2 ^{22.2717}	2 ^{20.4010}	2 ^{20.8160}	2 ^{17.1802}	2 ^{13.1656}	2 ^{14.9614}	2 ^{32.1416}	2 ^{28.1271}
R60D60	2 ^{23.0307}	2 ^{21.1551}	2 ^{21.5701}	2 ^{17.9293}	2 ^{13.4146}	2 ^{15.4768}	2 ^{33.4061}	2 ^{28.8914}
R70D70	2 ^{23.6705}	2 ^{21.7907}	2 ^{22.2057}	2 ^{18.5675}	2 ^{13.8495}	2 ^{15.9188}	2 ^{34.4863}	2 ^{29.7603}

Table 3: Quantum cost for Grover's search on quantum NV Sieve.

Case	#Total gates	<i>T</i> -depth (<i>Td</i>)	Full depth (<i>FD</i>)	Qubit (<i>M</i>)	Quantum cost	<i>Td</i> - <i>M</i>	<i>FD</i> - <i>M</i>
R10D10	2 ^{16.8175}	2 ^{11.0443}	2 ^{10.5565}	2 ^{10.6329}	2 ^{27.3740} . <i>r</i>	2 ^{21.6772}	2 ^{21.2458}
R20D20	2 ^{19.3494}	2 ^{13.5521}	2 ^{11.6821}	2 ^{12.4424}	2 ^{31.0315} . <i>r</i>	2 ^{25.9945}	2 ^{24.1245}
R30D30	2 ^{20.9313}	2 ^{15.1241}	2 ^{12.4795}	2 ^{13.5543}	2 ^{33.4108} . <i>r</i>	2 ^{28.6784}	2 ^{26.0238}
R40D40	2 ^{22.0942}	2 ^{16.2734}	2 ^{12.8570}	2 ^{14.3445}	2 ^{34.9512} . <i>r</i>	2 ^{30.6179}	2 ^{27.2015}
R50D50	2 ^{22.9837}	2 ^{17.1802}	2 ^{13.1656}	2 ^{14.9614}	2 ^{36.1493} . <i>r</i>	2 ^{32.1416}	2 ^{28.1271}
R60D60	2 ^{23.7407}	2 ^{17.9293}	2 ^{13.4146}	2 ^{15.4768}	2 ^{37.1553} . <i>r</i>	2 ^{33.4061}	2 ^{28.8914}
R70D70	2 ^{24.0570}	2 ^{18.5675}	2 ^{13.8495}	2 ^{15.9188}	2 ^{37.9065} . <i>r</i>	2 ^{34.4863}	2 ^{29.7603}

Fixed-point

- 고정 소수점 연산
 - 고정된 자릿수를 사용 (정수, 소수)
 - **사칙연산에 있어 효율적** (정수 연산과 동일하게 수행 가능)
 - 적은 수의 비트를 사용함
- 격자의 Dimension과 별개로 정밀도를 위해 소수파트 추가
 - 즉, R50D50인 경우, 정수 부분의 길이가 50-bit, **소수 부분은 별개로 큐비트 할당**



Fixed-point arithmetic in quantum

- **Addition**

- 기존 덧셈 방식과 동일

- **Multiplication**

- 기존 곱셈 방식과 동일하게 Toffoli gate 사용
- 소수 부분 (m qubit)이 존재하기 때문에 곱셈 후 해당 부분을 위한 큐비트도 2배로 증가 ($2m$ qubit)
 - 정수 부분: n qubit $\rightarrow 2n$ qubit, 소수 부분: m qubit $\rightarrow 2m$ qubit

- **2's Complement**

1. 기존과 동일하게 최상위 비트 기준으로 양/음수 판단하여 조건에 맞게 모든 비트 반전
2. 소수 부분을 제외한 정수 부분의 LSB에만 1을 더해줌 (for 2의 보수)

알고리즘 구현 정확성 테스트

- 소수자리 사용하지 않는 경우 in 고정 소수점 버전

- 이전 구현: $1011000 \rightarrow -40$
→ 심사 중인 논문에 단계별 결과 값이 있으며, 해당 벡터와 동일한 벡터 사용
- 고정 소수점 구현 결과 값: $1011000.0000 \rightarrow -40.0000$
→ 정상 동작

- 소수자리 사용하는 경우 in 고정 소수점 버전

- 입력 벡터: $v = (5.5, 1.0, 1.0, 3.0, 1.0)$, $c = (6.0, 4.0, 4.0, 1.0, 8.0)$, $sqr\ \gamma R = 32.0$ (나머지 벡터는 0)
- 고정 소수점 구현 결과 값: $\rightarrow 1010111.0100 \rightarrow -39.25$
 $1010111.0100 \rightarrow 0101000.1011 \rightarrow 0101000.1100 \rightarrow -40+0.75 \rightarrow -39.25$
- 실제 계산 값도 -39.25 로 구현 정확성 확보

```
X | v_arr[0][1]
X | v_arr[0][2]
X | v_arr[0][4]
```

```
X | v_arr[1][2]
```

```
X | v_arr[2][2]
```

```
X | v_arr[3][2]
X | v_arr[3][3]
```

```
X | v_arr[4][2]
```

```
X | c_arr[0][3]
X | c_arr[0][4]
```

```
X | c_arr[1][4]
```

```
X | c_arr[2][4]
```

```
X | c_arr[3][2]
```

```
X | c_arr[4][5]
```

```
X | sqr_rR[9]
```

자원 추정

- 기존 R10D10 ~ R70D70과 더불어 정밀도에 따른 자원도 추정하기 위해 소수부분 2자리, 4자리 추가하여 실험 중
 - 현재 R70D70의 소수 2자리, 4자리만 남은 상태 (실험 2개)
- 기존 구현에서 디멘션이 소수 자리만큼 늘어나는 것과 유사하므로 이에 해당하는 추가 자원이 사용될 것으로 보임
- 고정소수점 연산이 헛갈려서 다시 보긴 할 예정
- 실험 완료 후 개선 논문으로 우선 작성할 계획

감사합니다